

УДК 533.9.01

ТОРМОЖЕНИЕ БЫСТРЫХ ИОНОВ В ПЛОТНОЙ ПЛАЗМЕ

БАСКО М. М.

1. Введение

Цель данной работы — предложить достаточно простые формулы для вычисления скорости торможения быстрых ионов в веществе, термодинамические параметры которого могут изменяться в широких диапазонах: $0 < \rho \leq 10^6$ г/см³, $0 < T \leq 300$ кэВ. Практическая потребность в таких формулах возникла в связи с введением в строй сильноточных ускорителей легких ионов [1] и разработкой концепции термоядерного реактора на пучках тяжелых ионов [2, 3]. Торможение тяжелых (а также скорее всего и легких) ионов даже в наиболее интенсивных пучках, доступных современным ускорителям, можно описывать в одночастичном приближении [4], т. е. в пределе исчезающе малой плотности частиц пучка. В этом приближении каждый ион пучка с атомной массой A_1 и порядковым номером Z_1 отдает свою энергию индивидуально, независимо от присутствия других быстрых частиц, в процессе кулоновского взаимодействия с электронами и ионами среды. Под быстрыми мы подразумеваем частицы с кинетической энергией $0,1 \text{ МэВ/а.е.м.} \leq E \leq 1 \text{ ГэВ/а.е.м.}$

Чтобы в общем случае вычислить тормозную способность, необходимо, строго говоря, знать полный спектр энергетических возбуждений среды и уметь вычислять заряд быстрого иона eZ_{1ef} и вероятности переходов между различными энергетическими состояниями среды. При этом необходимо учитывать, что быстрый ион не точечный заряд, а окружен облаком электронов, которые могут сами переходить из одного энергетического состояния в другое. Поскольку в такой общей постановке задачу удастся решить еще не скоро, в данной работе принят упрощенный подход, основанный на полуэмпирической формуле для Z_{1ef} и на приближении среднего иона [5] при описании свойств среды. Принципиальное отличие данной работы от всех предыдущих состоит в использовании корректного уравнения ионизации для плотной плазмы и более точной процедуры вычисления средней энергии возбуждения $\bar{\hbar\omega}$ связанных электронов. В результате обнаружен интересный эффект, характерный для плотной плазмы и не проявившийся в аналогичных расчетах других авторов [6, 7]: с ростом температуры при фиксированной плотности тормозная способность среды сначала уменьшается на 10–40% и лишь затем начинает расти.

2. Торможение на связанных электронах

В данной работе среда, для которой вычисляется тормозная способность $S = -\rho^{-1}dE/dx$, для простоты предполагается состоящей из атомов одного сорта с атомной массой A_2 и порядковым номером Z_2 . В среде предполагается наличие статистического равновесия, характеризующегося в общем случае разными электронной T_e и ионной T_i температурами. При заданных T_e и ρ степень ионизации $y = y(\rho, T_e)$ (число свободных электронов, приходящихся на одну атомную ячейку) находится из уравнения ионизации

$$\mu_e(y/V, T_e) + I(y) = b(Z_2/V)^8(1 + \mu T_e^2 V^6)^{-1}, \quad (1)$$

где V — объем атомной ячейки, $I(y)$ — слаженная интерполяция дискретных потенциалов ионизации, μ_e — химический потенциал идеального фер-

ми-газа электронов, b , β , μ и σ — константы, характеризующие индивидуальные свойства элементов. Все величины в уравнении (1) измеряются в атомных единицах. Значения фигурирующих в нем постоянных для ряда элементов приведены в таблице (подробнее см. [5]).

Полную тормозную способность представим в виде четырех слагаемых

$$-\frac{1}{\rho} \frac{dE_1}{dx} = S = S_{be} + S_{fe} + S_{fi} + S_{nu}, \quad (2)$$

описывающих соответственно вклады связанных и свободных электронов, а также свободных ионов плазмы и «голых» ядер. Выражение для S_{be}

	β	b	σ	10^3 н	y_0	g_0
Be	0,6	11,63	1,8	5,7	2,20	2,10
C	0,6	11,73	1,6	20,4	3,09	2,30
Al	0,59	10,54	1,72	4,97	3,42	2,06
Ti	0,67	5,5	1,8	3,73	3,30	1,62
Fe	2/3	5,7	1,82	3,2	4,17	2,05
Ag	2/3	5,7	1,8	2,79	4,64	1,73
Au	2/3	5,7	1,85	1,37	6,85	1,61
Pb	2/3	5,7	1,85	1,19	5,35	1,47
U	0,68	5,05	1,8	1,39	6,98	1,20

общем случае имеет вид [8]

$$S_{be} = \frac{4\pi e^4 Z_{1ef}^2}{m_e v_1^2} \left(\frac{Z_2 - y}{A_2 m_A} \right) \left[L_{be} - \ln \left(1 - \frac{v_1^2}{c^2} \right) - \frac{v_1^2}{c^2} \right], \quad (3)$$

где eZ_{1ef} — заряд быстрого иона, движущегося со скоростью v_1 , $(Z_2 - y)$ — число связанных электронов в одном атоме среды; m_A — атомная единица массы (а. е. м.); L_{be} — кулоновский логарифм, от которого мы для простоты отдалили релятивистские поправки, чтобы ниже при его вычислении иметь дело с нерелятивистскими импульсами и энергиями.

В тех случаях, когда значения $L_{be} \gg 1$, эту величину удобно представить в виде

$$L_{be} = \ln(p_{max}/p_{min}), \quad (4)$$

где p_{max} и p_{min} — соответственно максимальное и минимальное изменения импульса быстрого иона в результате столкновения с полевой частицей (в данном случае — со связанным электроном). Выражение для p_{max} очевидно:

$$p_{max} = 2m_e v_1. \quad (5)$$

Правильные значения p_{min} в классическом ($\hbar v_1 \ll Z_{1ef} e^2$) и квантовом ($\hbar v_1 \gg Z_{1ef} e^2$) пределах были впервые вычислены Бором [9] и Бете [10]. Переходную область $\hbar v_1 \sim Z_{1ef} e^2$ рассмотрел Блох [11]. Результаты Бора — Бете — Блоха с очень хорошей точностью описываются простым выражением

$$p_{min} = [(\gamma Z_{1ef} e^2 \bar{\omega}/v_1^2)^2 + (\hbar \bar{\omega}/v_1)^2]^{1/2}, \quad (6)$$

где $\bar{\omega}$ — средняя частота возбуждения атомных электронов, $\ln \gamma = 0,577$ — постоянная Эйлера.

Бете смог вычислить значение $\bar{\omega}$ лишь для изолированного атома водорода, для которого $\hbar \bar{\omega} = 1,105 \text{ Ry}$. Для тяжелых атомов значения $\bar{\omega}$ теоретически не вычислены до сих пор. Экспериментальные значения $\bar{\omega}$ измерены для всех элементов вплоть до урана [12] — но лишь при комнатной температуре и атмосферном давлении. Нам необходимо разработать приближенную процедуру оценки $\bar{\omega}$, применимую как для изолированных ионов произвольной кратности в разреженной плазме, так и для сжатых атомных ячеек в плотном веществе. При этом нужно достаточно корректно описать следующие два эффекта:

1) последовательное «выключение» атомных оболочек по мере того, как скорость замедляющегося иона v_1 становится меньше атомных скоростей электронов на соответствующих оболочках;

2) возрастание атомных частот ω по мере тепловой ионизации атомов, сопровождающейся отрывом внешних электронов, частично экранирующих заряд ядра.

С этой целью разобьем произведение $(Z_2 - y)L_{be}$ из (3) на сумму по отдельным подоболочкам в модели атома Хартри – Фока – Дирака

$$(Z_2 - y)L_{be} = \sum_{n,l,j} n_{n,l,j} H_{be}(\Lambda_{n,l,j}) \quad (7)$$

и будем считать, что значения

$$\Lambda_{n,l,j} = (p_{max}/p_{min})_{n,l,j} \quad (8)$$

по-прежнему определяются формулами (5), (6), в которых для каждой подоболочки необходимо подставить свое значение средней частоты возбуждения $\bar{\omega}_{n,l,j}$. Суммирование в (7) распространяется лишь на те подоболочки, на которых имеются связанные электроны; при этом в принятой нами модели среднего иона число электронов на самой внешней из занятых подоболочек может оказаться дробным.

Последовательное выключение внутренних подоболочек при $\Lambda_{n,l,j} \leq 1$ учтем при помощи универсальной зависимости $H_{be}(\Lambda)$. Ясно, что функция $H_{be}(\Lambda) \approx \ln \Lambda$ при $\Lambda \gg 1$ и обращается в нуль при $\Lambda = 0$. Закон убывания $H_{be}(\Lambda)$ при $\Lambda \leq 1$ определяется формой спектра возбуждений на частотах $\omega \lesssim \bar{\omega}$. Ориентируясь на более общий случай квазинепрерывного спектра, для которого применим результат Фирсова [13] $H_{be}(\Lambda) \propto \Lambda^{-\eta}$, мы остановимся на простой формуле

$$H_{be}(\Lambda) = \ln [1 + \Lambda / (1 + 3.5/\Lambda^{1/2})], \quad (9)$$

которая находится в разумном согласии с экспериментальными данными [14], по замедлению протонов (см. рис. 2).

Описав выключение оболочек функцией $H_{be}(\Lambda)$, мы можем считать средние частоты $\bar{\omega}_{n,l,j}$ не зависящими от скорости быстрого иона v_1 и учесть их зависимость лишь от степени ионизации y . Ясно, что по порядку величины $\hbar\bar{\omega}_{n,l,j} \sim \epsilon_{n,l,j}$, где $\epsilon_{n,l,j} = \epsilon_{n,l,j}(y)$ – энергия отрыва (перехода в непрерывный спектр) электрона с подоболочки n, l, j . Мы положим

$$\hbar\bar{\omega}_{n,l,j} = g(y) \epsilon_{n,l,j}(y), \quad (10)$$

где коэффициент возбуждения $g(y)$ один и тот же для всех подоболочек данного иона. О точности такого приближения можно судить, сравнив между собой значения $g_0 = g(y_0)$, вычисленные для различных веществ при нормальных условиях ($T_e = T_0 = 300 \text{ K}$, $P = 760 \text{ Torr}$, $\rho = \rho_0$, $y_0 = y(\rho_0, T_0)$) по известным из эксперимента значениям $\bar{\omega} = \bar{\omega}_{exp}$. Поскольку при определении $\bar{\omega}_{exp}$ используется формула Бете в пределе высоких энергий $E_i \geq 100 \text{ MeV/a.e.m.}$, когда вкладом S_{fi} и S_{nu} можно пренебречь, значения g_0 можно найти из соотношения

$$(Z_2 - y_0)L_{be} + y_0 L_{fe} = Z_2 \ln (2m_e v_1^2 / \hbar \bar{\omega}_{exp}), \quad (11)$$

в котором подразумевается $T_e = T_0$, $\rho = \rho_0$, $Z_1 = A_1 = 1$, $E_i = m_p c^2$; значения $\hbar \bar{\omega}_{exp}$ затабулированы в обзоре [12], энергии связи электронов для изолированных атомов приведены в [15]; формулы для вычисления L_{fe} выписаны ниже (см. раздел 3). Из таблицы, где приведены значения y_0 и g_0 для ряда элементов, мы видим, что разброс в величине g_0 от элемента к элементу сравнительно невелик: $1.2 \leq g_0 \leq 2.3$. Опираясь на крайние значения $g(y_0) = g_0$ и $g(Z_2 - 1) = g_H = 1.105$, мы примем простейшую интерполяционную формулу для $g(y)$:

$$g(y) = \begin{cases} g_0, & 0 < y \leq y_c, \\ g_0 + (g_H - g_0)(y - y_c)/(Z_2 - 1 - y_c), & y_c < y < Z_2 - 1, \\ g_H, & Z_2 - 1 \leq y \leq Z_2, \end{cases} \quad (12)$$

где $y_e = y(\rho, T_0)$ — холодная степень ионизации.

Возрастание энергий отрыва $\epsilon_{n,l,j}(y)$ по мере перехода к более высоким стадиям ионизации мы учтем в приближении

$$\epsilon_{n,l,j}(y) = \epsilon_{n,l,j}(0) + \Delta\epsilon(y), \quad (13)$$

где поправка $\Delta\epsilon(y)$ на снятие экранировки внешними электронами не зависит от квантовых чисел n, l, j :

$$\Delta\epsilon(y) = \max \{0; I_{y+1} - \epsilon_{z_1-y} - 2 \text{Ry} b (Z_2/V)^{\beta} (1 + \mu T_e^2 V^{\alpha})^{-1}\}. \quad (14)$$

Здесь I_{y+1} — потенциал ионизации $y \rightarrow y+1$, а ϵ_{z_1-y} — энергия связи (Z_2-y) -го электрона в нейтральном изолированном атоме. Выражение (14) достаточно точно описывает предел разреженной ($V \rightarrow \infty$) плазмы, когда $\Delta\epsilon(y) \approx I_{y+1} - \epsilon_{z_1-y}$ [16]. В плотной неидеальной плазме электроны и после перехода в непрерывный спектр продолжают частично экранировать заряд ядра. В (14) этот эффект учтен при помощи той же поправки к $I(y)$, что и в уравнении ионизации (1). Ясно, что такая поправка качественно правильно описывает снижение $\Delta\epsilon(y)$ по мере роста плотности; насколько она точна количественно — судить трудно, поскольку ни теоретических расчетов, ни экспериментальных измерений величины $\bar{\omega}$ в сильно сжатом веществе пока нет. Для нецелых y величина $\epsilon_{n,l,j}(y)$ оценивалась по формулам линейной интерполяции между соседними целыми значениями.

На рис. 1 проведено сравнение описанной выше процедуры вычисления $\bar{\omega}(y)$ с атомными расчетами [17, 18] для изолированных ($V \rightarrow \infty$) ионов Al и Au. Налицо гораздо лучшее согласие, чем в моделях других авторов [19], — особенно после того, как мы примем для Al значение $g_0=1,323$, вычисленное исходя из теоретического результата $\hbar\bar{\omega}|_{y=0}=120,7$ эВ [17], существенно отличающегося от $\hbar\bar{\omega}_{exp}=164$ эВ.

3. Торможение на свободных электронах

Тормозную способность электронов непрерывного спектра мы оценим по формулам, полученным в теории идеальной плазмы. Суммируя результаты ряда теоретических исследований [20–22], в данной работе предлагается следующий алгоритм для вычисления S_{fe} :

$$S_{fe} = \frac{4\pi e^4 Z_{lef}^2}{m_e v_1^2} \frac{y G(x_e)}{A_2 m_A} \left[L_{fe} - \ln \left(1 - \frac{v_1^2}{c^2} \right) - \frac{v_1^2}{c^2} \right], \quad (15)$$

$$G(x_e) = \frac{2}{V\pi} \left[\int_0^{x_e} \exp(-t^2) dt - x_e \exp(-x_e^2) \right] \approx (1 + 1,33x_e^{-3})^{-1}, \quad (16)$$

$$x_e = (m_e v_1^2 / 2kT_{ef})^{1/2}, \quad x_i = (m_A A_2 v_1^2 / 2kT_i)^{1/2}, \quad (17)$$

$$kT_{ef} = [(kT_e)^2 + (2^{1/2}\pi\hbar^2 n_e^{3/2}/m_e)^2]^{1/2}, \quad (18)$$

$$L_{fe} = \ln [1 + \Lambda_{fe} / (1 + 0,5/\Lambda_{fe}^{1/2})], \quad (19)$$

$$\Lambda_{fe} = 2m_e v_{ef,e}^2 r_{ef} / (\hbar^2 v_{ef,e}^2 + \gamma^2 Z_{lef}^2 e^4)^{1/2}, \quad (20)$$

$$m_e v_{ef,e}^2 = 2kT_{ef} \eta(x_e), \quad m_A A_2 v_{ef,i}^2 = 2kT_i \eta(x_i), \quad (21)$$

$$\eta(x) = 0,353 + x^2 (2,34 + x^3) / (11 + x^3), \quad (22)$$

$$r_{ef} = \max \left\{ r_{ef}; \left(\frac{3}{4\pi} \frac{Z_{lef}}{n_e} \right)^{1/3} \right\}, \quad (23)$$

$$r_{ef}^{-2} = 4\pi n_e e^2 / m_e v_{ef,e}^2 + 4\pi n_e y e^2 / A_2 m_A v_{ef,i}^2. \quad (24)$$

Выше $n_e = \rho y / A_2 m_A$ — объемная плотность свободных электронов. Формулы (15)–(24) фактически представляют собой спивку всех асимптотик, различающихся значениями четырех безразмерных параметров, которые

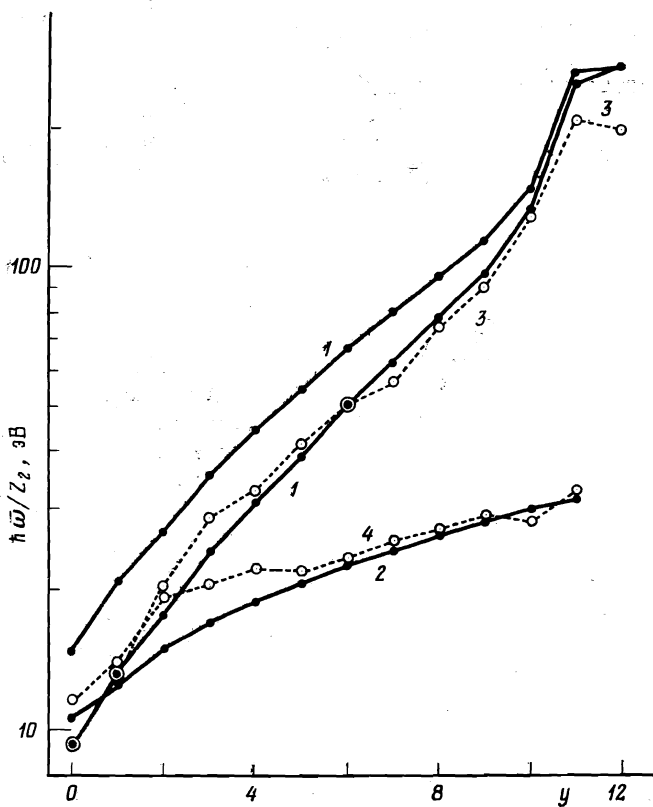


Рис. 1. Средняя энергия возбуждения $\hbar\bar{\omega}$ изолированных ионов: 1, 3 – алюминия и 2, 4 – золота в зависимости от их кратности y ; 1, 2 – расчеты по формулам данной работы, 3 – данные из [17] и 4 – из [18]

характеризуют торможение пробного заряда в идеальной плазме: параметра вырождения $\psi = \epsilon_F/kT_e$ (ϵ_F – энергия Ферми электронного газа с плотностью n_e), боровского параметра $\lambda = e^2 Z_{1,ef}/\hbar v_{ef,e}$ и двух «звуковых» параметров x_e и x_i . Так, переход от «сверхзвукового» торможения при $x_e \gg 1$ к «дозвуковому» при $x_e \ll 1$, рассчитанный для больцмановской ($\psi \ll 1$) плазмы в [21], хорошо описывается выражением (22); абсолютная ошибка в значении L_{fe} не превышает 0,1. Сшивка больцмановской ($\psi \ll 1$) и фермиевской ($\psi \gg 1$) асимптотик реализована простейшей зависимостью (18), дающей правильный предлогарифмический множитель в пределе $\psi \gg 1$ и $x_e \ll 1$ [22]. Однако, как показывает сравнение с результатами строгого интегрирования диэлектрической проницаемости вырожденной плазмы [23], простая формула (18) в совокупности с (22) может приводить к ошибке $\sim 50\%$ в значениях S_{fe} при $x_e \sim 1$, тогда как вне интервала $0,4 \leq x_e \leq 3$ эта ошибка всегда $\leq 10\%$. Какова точность предложенной схемы в промежуточной области $\psi \sim 1$, пока не ясно. В выражении (24) для эффективного радиуса экранирования r_{ef} свободными зарядами «включение» ионов при $x_i \sim 1$ учтено по той же формуле (22), что и включение электронов при $x_e \sim 1$. Формула (3) ограничивает возможные значения r_{ef} снизу радиусом «сильного» экранирования $(3Z_{1,ef}/4\pi n_e)^{1/6}$ [24].

4. Торможение на ионах среды

Торможение за счет столкновений с ионами может стать существенным в конце пробега как в горячей плазме при $x_e \ll 1$, так и в холодном веществе при $E_i \leq 0,5$ МэВ/а.е.м. и $Z_1 \gg 1$, $Z_2 \gg 1$. Столкновения с ионами среды можно условно разбить на далекие и близкие; границу раздела будем характеризовать значением прицельного параметра $r = r_s$, соответствующие вклады в полную тормозную способность обозначим S_{nu} и S_{nuu} . При $r \gg r_s$

ионы пучка и мишени взаимодействуют как точечные заряды $eZ_{1\text{ef}}$ и ey ; при $r \ll r_s$ ядра сталкивающихся ионов проникают под экранирующее облако связанных электронов и отталкиваются как точечные заряды eZ_1 и eZ_2 .

Для описания далеких столкновений применим результаты теории дебаевского экранирования аналогично тому, как это было сделано для столкновений со свободными электронами. В результате получаем следующее выражение для $\Lambda_{fi} = p_{max}/p_{min}$:

$$\Lambda_{fi} = \min \left\{ \frac{2M_0 v_{ef,i}^2, r_{ef}^*}{(\hbar^2 v_{ef,i}^2 + \gamma^2 Z_{1e}^2 y^2 e^4)^{1/2}}, \frac{r_s^*}{r_s} \right\}, \quad (25)$$

где $M_0 = m_A A_1 A_2 / (A_1 + A_2)$ — приведенная масса сталкивающихся ионов, $v_{ef,i}$ — эффективная скорость пробного иона согласно (21).

Прежде чем написать окончательное выражение для S_{fi} , необходимо уточнить понятие пробега. Пока мы рассматривали торможение ионов на легких электронах, мы молчаливо подразумевали, что быстрые ионы теряют всю свою энергию, двигаясь по прямой, и не делали различия между приведенной массой $m_e/(1+m_e/m_A A_1)$ и массой электрона m_e . В случае рассеяния на тяжелых частицах с массой $m_A A_2$ длина прямолинейного участка траектории $R_E \approx M_0$ может сильно отличаться от длины траектории $R_E \approx m_A A_2$ полной потери энергии (всегда $R_E < R_E$). В случае $R_E \ll R_E$ релаксация быстрого иона приобретает диффузионный характер. В такой ситуации нас интересует проекционный пробег $R_p \approx (R_E R_E)^{1/2}$, равный среднему смещению быстрого иона вдоль начального направления движения. В соответствии с этим мы примем

$$S_{fi} = \frac{4\pi e^4 Z_{1ef}^2 y^2}{m_A A_2 v_i^2} \frac{(1+A_2/A_1)^{1/2}}{m_A A_2} G(x_i) L_{fi}, \quad (26)$$

где по аналогии с (19)

$$L_{fi} = \ln [1 + \Lambda_{fi} / (1 + 0.5/\Lambda_{fi}^{1/2})]. \quad (27)$$

Проводя аналогичные рассуждения для близких столкновений, мы придем к следующим выражениям:

$$S_{nu} = \frac{4\pi e^4 Z_1^2 Z_2^2 \cdot (1+A_2/A_1)^{1/2}}{m_A A_2 v_i^2} G(x_i) L_{nu}, \quad (28)$$

$$\Lambda_{nu} = \frac{2M_0 v_{ef,i}^2 r_s}{(\hbar^2 v_{ef,i}^2 + \gamma^2 Z_1^2 Z_2^2 e^4)^{1/2}}. \quad (29)$$

Сравнивая (28) с результатами Линдхарда и др. [25], полученными в рамках модели Томаса — Ферми, мы приходим к следующим значениям численных коэффициентов в формулах для r_s и L_{nu} :

$$r_s = 0.51 a_0 [Z_1^2 (\max \{Z_1 - Z_{1\text{ef}}, 1\})^{-1/3} + Z_2^2 (\max \{Z_2 - y, 1\})^{-1/3}]^{-1/2}, \quad (30)$$

$$L_{nu} = \ln [1 + \Lambda_{nu} / (1 + 0.35/\Lambda_{nu}^{1/2})] \quad (31)$$

(a_0 — боровский радиус). При выводе (30) мы воспользовались методом, предложенным в [26].

5. Эффективный заряд

Как и в большинстве других работ, мы предполагаем, что эффективный заряд $Z_{1\text{ef}}$ быстрого иона не зависит от химического состава и плотности среды, а определяется некоторой универсальной функцией Z_1 и v_i . Мы вынуждены, однако, отказаться от общепринятых полуэмпирических выражений для $Z_{1\text{ef}}$, поскольку они, как правило, получены в предположении $Z_{1\text{ef}}^2 = S(Z_1, v_i)/S(1, v_i)$, не учитывающем зависимости кулоновских логарифмов от Z_1 . Вычисляя тормозную способность S по выписанным выше выражениям и сопоставляя ее с данными экспериментов [27—29] и

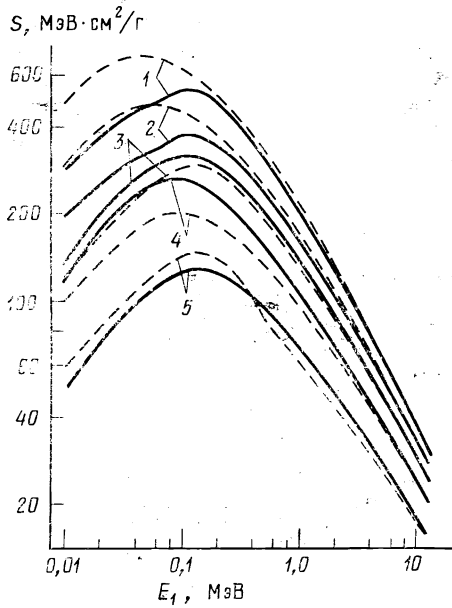


Рис. 2.

Рис. 2. Тормозные способности различных металлов: 1 – Be, 2 – Al, 3 – Fe, 4 – Ag, 5 – U при нормальных условиях для протонов в зависимости от их энергии. Сплошные линии – настоящие расчеты, штриховые линии – компиляция экспериментальных данных из [14]

Рис. 3.

Рис. 3. Тормозные способности серебра (1–6) при нормальных условиях для ионов:

1 – U, 2 – Ag, 3 – Ti, 4 – Al, 5 – C, 6 – Be, а также алюминия для ионов урана (7) в зависимости от энергии ионов. Сплошные линии – настоящие расчеты; штриховые линии – значения электронной тормозной способности из [30]; пунктир – экспериментальные данные из [27] для Al → Ag и из [29] для U → Al

таблицами [30], мы остановились на следующем выражении для эффективного заряда:

$$Z_{1ef}/Z_1 = [1 + (0,62Z_1^{2/3}v_0/v_1)^{1.7}]^{-1/1.7}, \quad (32)$$

где $v_0 = e^2/\hbar$ – боровская скорость. Функциональная зависимость (32) заимствована из работы [31]. Для протонов полагалось $Z_{1ef} = 1$ независимо от значения скорости v_1 [26]. Для остальных элементов значения Z_{1ef} ограничивались снизу величиной y_1 – равновесной степенью ионизации атома (Z_1, A_1), вкрапленного в среду (Z_2, A_2) с плотностью ρ и электронной температурой T_e .

6. Результаты расчетов

Прямое сравнение описанной выше схемы с экспериментальными данными может быть проведено лишь для сред при нормальных плотности и температуре. Рисунок 2 иллюстрирует такое сравнение для протонов, испытывающих торможение в разных металлах из разных частей периодической системы. Поскольку для протонов принято $Z_{1ef} = 1$, относительный разброс теоретических и экспериментальных кривых на этом рисунке достаточно отчетливо характеризует погрешность нашей схемы в описании спектра энергетических возбуждений среды. Как и следовало ожидать, ошибки становятся большими при энергиях $E_1 \leq 0,1$ МэВ/а.е.м., когда кулоновские логарифмы $L_{be} \leq 1$, $L_{te} \leq 1$. При других ρ и T_e , сильно отличающихся от нормальных, обсуждаемая погрешность должна быть такого же порядка, как и на рис. 2, уже хотя бы потому, что предложен-

ная схема достаточно хорошо передает изменение средней энергии возбуждения $\hbar\omega$ с ростом кратности ионизации (см. рис. 1).

Рисунок 3 иллюстрирует погрешность, вносимую в значения тормозной способности серебра при нормальных условиях универсальной формулой (32) для $Z_{1,ef}$. Поскольку на рис. 3 в основном проводится сравнение с экстраполяцией экспериментальных данных согласно [30], необходимо отметить следующее. Во-первых, в таблицах [30] приведены значения только электронной составляющей тормозной способности, вклад которой в S доминирует при $E_e > 0,1$ МэВ/а.е.м. Во-вторых, как показали

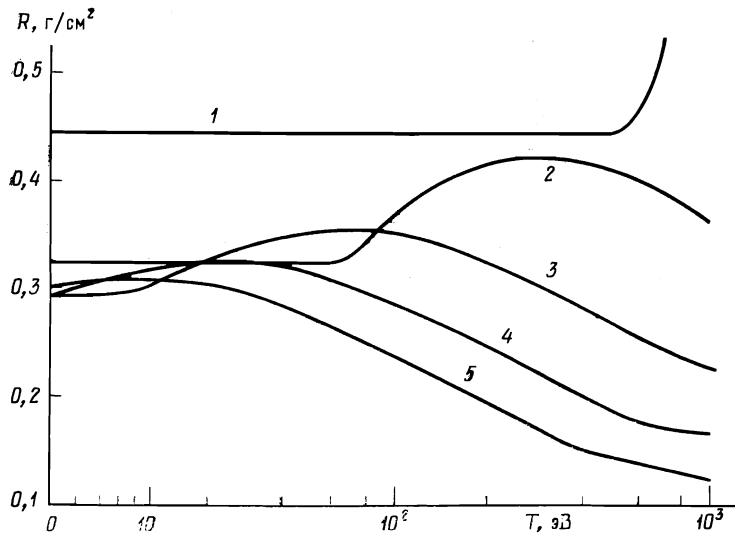


Рис. 4. Зависимости пробега ионов висмута с энергией 10 ГэВ/ядро в свинце от температуры последнего. Плотности свинца:
1 – 1134, 2 – 113,4, 3 – 11,34, 4 – 1,134, 5 – 0,1134 г/см³

результаты недавних экспериментов [28, 29], таблицы [30] дают систематически заниженные значения S в интервале энергий 0,1–10 МэВ/а.е.м., что хорошо видно на кривых 7 и 4 рис. 3. Отметим, что в условиях, сильно отличающихся от нормальных, погрешность простой формулы (32) может несколько возрасти, на что указывают систематически более низкие значения $Z_{1,ef}$ в газах по сравнению с металлами [32]. Но даже с учетом этого обстоятельства ошибка, вносимая в значения S приближением (32), того же порядка, что и ошибка при вычислении L_{be} и L_{fe} , и более детальное описание $Z_{1,ef}$ в рамках обсуждаемой схемы, по-видимому, нецелесообразно.

Изменение скорости торможения быстрых ионов при условиях, сильно отличающихся от нормальных, проиллюстрировано на рис. 4 на примере ионов Bi с энергией 10 ГэВ (47,85 МэВ/а.е.м.), замедляющихся в свинцовой плазме. Значения Z_1 , Z_2 и E , выбраны такими же, как и в работе [7]. Однако в отличие от результатов [7], полученные нами зависимости пробега от температуры и плотности среды носят довольно сложный, немонотонный характер. Прежде всего бросается в глаза следующий эффект: при плотностях плазмы $\geq 10^{22}$ атомов/см³ с ростом T пробег сначала возрастает на 10–40% и лишь потом начинает падать. Это явление не было отмечено в работах [6, 7], хотя его физическая интерпретация достаточно прозрачна и сводится к следующему. С ростом температуры растет степень ионизации атомов среды. Переход электронов из дискретного спектра в непрерывный сказывается на тормозной способности двояким образом: с одной стороны, более высокие значения кулоновского логарифма L_{fe} свободных электронов по сравнению с L_{be} способствуют возрастанию тормозной способности S , с другой стороны, ионизация сопровождается возрастанием плазменной частоты ω_p и средней частоты возбуждения из дискретного спектра $\bar{\omega}$, т. е. уменьшением значений самих логарифмов L_{fe} и L_{be} , что приводит к уменьшению S . В разреженной

плазме, когда разница между значениями L_{fe} и L_{be} достаточно велика, преобладает первый фактор и пробег монотонно падает с ростом температуры. В плотной плазме, когда значения L_{fe} и L_{be} не сильно отличаются друг от друга, в определенном интервале температур преобладает второй фактор и пробег растет с ростом T .

Немонотонный ход кривых $R(T)$ в плотной плазме был нами впервые замечен и объяснен в работе [4]. Но поскольку в [4] ионизация плотной плазмы рассчитывалась методом Саха – Райзера, который заведомо занимает эффект возрастания средней частоты $\bar{\omega}$ возбуждения из дискретного спектра, реальность обсуждаемого горба на кривых $R(T)$ вплоть до настоящих расчетов была под вопросом. Следует признать, однако, что переход к физически более корректному уравнению ионизации (1) и более точному способу оценки $\bar{\omega}$ в данной работе в целом мало повлиял на качественное поведение кривых $R(T)$.

Автор признателен В. С. Имшеннику за постоянный интерес к работе и полезные обсуждения.

Литература

1. Godlove T. F. Proc. Symp. on Accel. Aspects of Heavy Ion Fus. Darmstadt, March – April 1982, GSI-82-8, p. 435.
2. Зенкевич П. Р., Имшенник В. С., Капчинский И. М., Кошарев Д. Г., Шевченко В. Г. Препринт ИТЭФ, 1981, № 64.
3. Studies on the Feasibility of Heavy Ion Beams for Inertial Confinement Fus. Annual Report 1981, 1982, GSI-82-6.
4. Баско М. М., Соколовский М. В. Физика плазмы, 1982, 8, 519.
5. Баско М. М. Препринт ИТЭФ, 1982, № 57.
6. Mehlhorn T. A. J. Appl. Phys., 1982, 52, 6522.
7. Meyer-ter-Vehn J., Metzler N. Target Design for Heavy Ion Beam Fus., 1981, MPQ-48.
8. Ландау Л. Д., Лишин Е. М. Электродинамика сплошных сред. М.: Наука, 1982, с. 551.
9. Bohr N. Phil. Mag., 1943, 25, 10.
10. Bethe H. A. Ann. der Physik, 1930, 5, 325.
11. Bloch F. Ann. der Physik, 1933, 16, 285.
12. Ahlen S. P. Rev. Mod. Phys., 1980, 52, 121.
13. Фирсов О. Б. ЖЭТФ, 1959, 36, 1517.
14. Andersen H. H., Ziegler J. F. Hydrogen Stopping Powers and Ranges in All Elements. N. Y.: Pergamon Press, 1977.
15. Huang K.-N., Aoyagi M., Chen M. N., Crasemann B., Mark H. Atom. Data Nucl. Data Tables, 1976, 18, 243.
16. Carlson T. A., Nestor C. W. Jr., Wasserman N., McDowell J. D. Atomic Data, 1970, 2, 63.
17. McGuire E. J., Peek J. M., Pitchford L. Phys. Rev., 1982, 26A, 1318.
18. McGuire E. J. Phys. Rev., 1982, 26A, 1871.
19. Peek J. M. Phys. Rev., 1982, 26A, 1030.
20. Kihara T., Aono O. J. Phys. Soc. Japan, 1963, 18, 837.
21. Hamada T. Austral. J. Phys., 1978, 31, 291.
22. Ritchie R. H. Phys. Rev., 1959, 114, 644.
23. Яковлев Д. Г., Когельников С. С. ЖЭТФ, 1983, 84, 1348.
24. Salpeter E. E. Austral. J. Phys., 1954, 7, 373.
25. Lindhard J., Nielsen V., Scharff M. K. Dan. Vidensk. Selsk. Mat.-Fys. Medd., 1968, 36, № 10.
26. Brandt W., Kitagawa M. Phys. Rev., 1982, 25B, 5631.
27. Forster J. S., Ward D., Andrews H. R., Ball G. C., Costa G. J., Davies W. G., Mitchell I. V. Nucl. Instrum. Meth., 1976, 136, 349.
28. Anthony J. M., Lanford W. A. Phys. Rev. 1982, 25A, 1868.
29. Geissel H., Laichter Y., Schneider W. F. W., Armbruster P. Proc. Symp. on Accel. Asp. of Heavy Ion Fus. Darmstadt, March – April, 1982, GSI-82-8, p. 578.
30. Northcliffe L. C., Schilling R. F. Nucl. Data Tables 1970, 7A, 233.
31. Nikolaev V. S., Dmitriev I. S. Phys. Lett., 1968, 28A, 277.
32. Geissel H., Laichter Y., Schneider W. F. W., Armbruster P. Nucl. Instrum. Meth., 1982, 194, 21.

Институт теоретической и
экспериментальной физики

Поступила в редакцию

28.VII.1983

Исправленный вариант
получен 28.II.1984